

○ 中部電力 三浦雅彦
名工大 長谷部宣男

まえがき 応力集中部からのクラックの発生はよく見られ、それらのクラックの応力解析はいくつかなされている。しかしその多くは応力集中が幾何学的条件によって生じるものである。本論文は変位拘束を受ける帯板が面内曲げを受けた時、その帯板の引張側の応力集中の起る変位拘束端からクラックが発生する前後の応力解析を行ったものである。これは埋め込まれた弾性梁の片側の埋め込み端からクラックが発生した場合、あるいは非常に剛なもので弾性梁の両端が補強された場合等のモデルである。このような変位拘束端では弾性的に無限大の応力が生じ、クラックの発生する危険性がありこのような解析は意味あるものと思われる。著者らはこのような変位拘束端から発生したクラックの解析を行った[1], [2]。このような問題は、境界上で変位が与えられる部分と外力が与えられる部分とからなる混合境界値問題として解かれる。解法としては片側にクラックを有する帯状領域を単位円内部に等角写像する分数式の和の形の有理写像関数と複素応力関数とを用いる。解が閉じた形で得られ、有理写像関数の表わす形状に対して厳密解である。

解法 解法の詳細は文献[2]に譲りここでは結果式のみを示す。

$$\bar{\omega}(\zeta) = \sum_{k=1}^n \frac{E_k}{\zeta - \zeta_k} + \text{Const.} \quad (1)$$

$$\phi(\zeta) = -X(\zeta) \sum_{k=1}^n \frac{\bar{A}_k B_k}{X(\zeta_k)(\zeta_k - \zeta)} + H(\zeta) \quad \dots \dots (2)$$

$$\psi(\zeta) = -\bar{\phi}\left(\frac{1}{\zeta}\right) - \bar{\omega}\left(\frac{1}{\zeta}\right) \frac{\phi'(\zeta)}{\omega'(\zeta)} \quad (3)$$

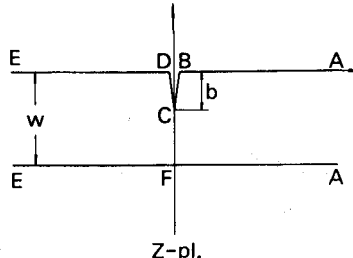
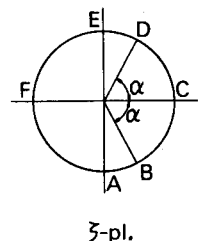


図-1 Z平面と単位円



式(1)は図-1に示す物理領域を単位円内部に等角写像する有理写像関数である。式(2), 式(3)は複素応力関数で、 $X(\zeta)$ はPlamneli関数、 $H(\zeta)$ は境界条件によって決まる関数である。本論文ではDEF部分で x, y 方向の変位成分 $u = v = 0$ 、A点の前後の点が、常に ζ だけ離れた大きさで等しく向き反対の一对の偶力 $M = P$ を考慮する。その時 $H(\zeta)$ の一次導関数が式(4)である。 $\phi(\zeta)$ の一次導関数と $\psi(\zeta)$ がわかることで応力成分は計算され、応力拡大係数を求められる。

解析結果 表-1および図-2に次式で定義される応力拡大係数を示す。

$$F_1 + iF_2 = (K_I + iK_{II}) \frac{(w-b)^{1.5}}{6M} \quad (5)$$

図-2の1点鏡線は、片側クラックを有する変位拘束のない帯板の面内曲げの場合を式(5)で無次元

表-1 無次元化した応力拡大係数

b/w	Mode I					Mode II				
	$\kappa=1.0$	$\kappa=5/3$	$\kappa=2.0$	$\kappa=2.5$	$\kappa=3.0$	$\kappa=1.0$	$\kappa=5/3$	$\kappa=2.0$	$\kappa=2.5$	$\kappa=3.0$
0.02	0.260	0.260	0.258	0.255	0.252	0.034	0.019	0.012	0.003	-0.005
0.03	0.260	0.263	0.262	0.260	0.258	0.028	0.016	0.011	0.004	-0.002
0.04	0.262	0.267	0.266	0.265	0.263	0.024	0.014	0.010	0.004	-0.001
0.05	0.263	0.271	0.270	0.269	0.268	0.021	0.012	0.008	0.003	-0.002
0.10	0.270	0.284	0.284	0.284	0.283	0.006	0.002	-0.001	-0.004	-0.008
0.20	0.283	0.300	0.301	0.301	0.300	-0.017	-0.016	-0.018	-0.020	-0.022
0.30	0.289	0.307	0.308	0.309	0.308	-0.034	-0.029	-0.030	-0.032	-0.034
0.40	0.295	0.311	0.312	0.312	0.312	-0.044	-0.039	-0.039	-0.041	-0.042
0.50	0.299	0.312	0.313	0.313	0.313	-0.049	-0.045	-0.045	-0.046	-0.047
0.60	0.303	0.312	0.312	0.313	0.312	-0.051	-0.048	-0.049	-0.049	-0.050
0.70	0.305	0.311	0.312	0.312	0.312	-0.052	-0.050	-0.051	-0.051	-0.052
0.80	0.306	0.311	0.311	0.311	0.311	-0.052	-0.051	-0.051	-0.052	-0.052
0.90	0.307	0.311	0.311	0.311	0.311	-0.053	-0.052	-0.052	-0.052	-0.052
0.95	0.308	0.311	0.311	0.311	0.311	-0.053	-0.052	-0.051	-0.051	-0.052
0.96	0.308	0.311	0.311	0.312	0.311	-0.053	-0.051	-0.051	-0.051	-0.051
0.97	0.308	0.311	0.312	0.312	0.312	-0.052	-0.050	-0.050	-0.050	-0.050
0.98	0.309	0.312	0.313	0.313	0.311	-0.049	-0.049	-0.049	-0.049	-0.049

化したF値である。これは Bentheim[3] らの結果と比較して3%程度の誤差でよく一致している。表-1、図-2で見られるように、 b/w が1に近づくにつれてF値はモードIでは丸に関係なく0.3に近づき、モードIIでは-0.047に近づく。 b/w が0に非常に近い場合は、計算したF値にはラッキが生じた。これはクラックが非常に短くなると、写像関数の精度が悪くなるためと思われる。図-3にクラック発生前の応力分布をI, 3に対して示す。また図-4に $b/w=0.4$ のクラック長さに対する応力分布を $\kappa=3$ に対して示す。

参考文献 1) Hasebe, Ing.-Archiv, 48, 1979 2) 長谷部, 三浦, 機械学会講演会
部 No.804-7 3) Benthem et al., Mechanics of Fracture, Vol.1, (ed. Sih) Leyden, 1973

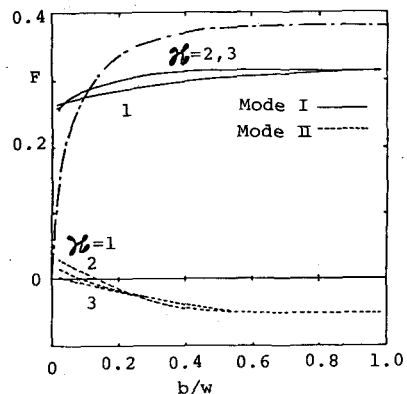


図-2 無次元化した応力拡大係数

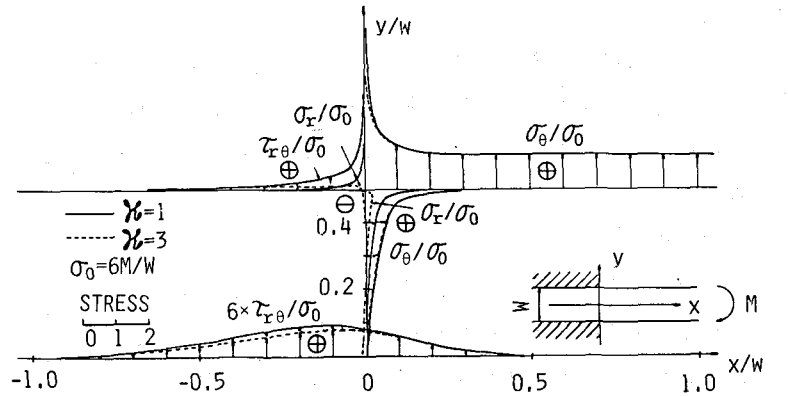


図-3 クラック発生前の応力分布

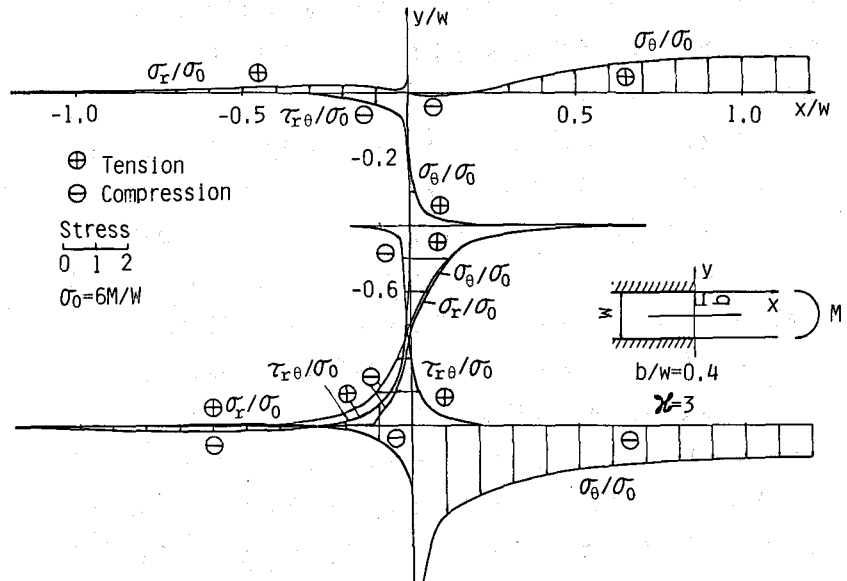


図-4 クラック発生後の応力分布